



Laboratorium EMVO Sp. J. Urbański, Pawełak

ul. Jasna 1  
00-013 Warszawa

tel. +48 22 780 29 64

e-mail: laboratorium@emvo.pl



AB 1630

**Sprawozdanie z pomiarów pól elektromagnetycznych - środowisko ogólne**  
**nr 12/09/OŚ/2020 - P4 - W**



<b>Nr i nazwa stacji</b>	BIA1009	
<b>Adres</b>	Białystok, ul. Radzymińska 1, pow. Białystok, woj. podlaskie	
<b>Opracowanie</b>	Marcin Belicki	<b>Specjalista ds. pomiarów</b>
<b>Autoryzacja</b>	Andrzej Urbański	<b>Kierownik Laboratorium</b>
<b>Podpis</b>		
<b>Data</b>	2020-09-04	

## Spis treści

1. Informacje ogólne.....	3
2. Podstawa prawna. ....	3
3. Opis pomiarów.....	3
4. Zróżnicowanie dopuszczalne poziomy pól elektromagnetycznych. ....	4
5. Charakterystyka źródeł PEM.....	5
6. Wyniki pomiarów.....	6
7. Stwierdzenie zgodności .....	8
8. Oświadczenie. ....	8
9. Spis załączników. ....	8

## 1. Informacje ogólne.

Zleceniodawca	P4 sp. z o.o., ul. Taśmowa 7, 02-677 Warszawa osoba udzielająca informacji – Monika Jankowska
Istotne informacje dostarczone przez zleceniodawcę	komplet informacji niezbędnych do wykonania pomiarów i opracowania sprawozdania
Prowadzący instalację	P4 sp. z o.o., ul. Taśmowa 7, 02-677 Warszawa
Lokalizacja obiektu	Białystok, ul. Radzymińska 1, pow. Białystok, woj. podlaskie
Miejsce instalacji anten	wieża kościoła
Miejsce instalacji urządzeń	outdoor
Osoby wykonujące pomiar	Andrzej Figger
Data wykonania pomiaru	2020-09-04
Temperatura na początku pomiaru [°C]	21
Temperatura na koniec pomiaru [°C]	20
Warunki atmosferyczne	Brak opadów.
Wilgotność na początku pomiaru [%]	68
Wilgotność na koniec pomiaru [%]	69
Inne źródła pól elektromagnetycznych oznaczone na załączniku graficznym	występują
Parametry pracy instalacji	eksploatacyjne

## 2. Podstawa prawna.

### 2.1 Normy i rozporządzenia:

- Rozporządzeniem Ministra Klimatu z dnia 17 lutego 2020 r. w sprawie sposobów sprawdzania dotrzymania dopuszczalnych poziomów pól elektromagnetycznych w środowisku (Dz.U. 2020 poz. 258)
- Rozporządzenie Ministra Zdrowia z dnia 17 grudnia 2019 r. w sprawie dopuszczalnych poziomów pól elektromagnetycznych w środowisku (Dz.U. 2019 poz. 2448)
- Obwieszczenie Marszałka Sejmu Rzeczypospolitej Polskiej z dnia 19 lipca 2019 r. w sprawie ogłoszenia jednolitego tekstu ustawy - Prawo ochrony środowiska (Dz.U. 2019 poz. 1396).

## 3. Opis pomiarów.

Metodologia pomiarowa	Pomiary w oparciu o Rozporządzeniem Ministra Klimatu z dnia 17 lutego 2020 r. w sprawie sposobów sprawdzania dotrzymania dopuszczalnych poziomów pól elektromagnetycznych w środowisku (Dz.U. 2020 poz. 258).
Cel badań	Określenie wartości natężenia pola elektrycznego w miejscach dostępnych dla ludności.
Opis zestawu pomiarowego	Miernik Narda NBM 520, Sonda EF 9091, o zakresie pomiarowym 0,8 V/m 400V/m pracująca w paśmie 0,1 – 90 GHz, świadectwo wydane przez Laboratorium Wzorców i Metrologii Pola Elektromagnetycznego, Instytut Telekomunikacji, Teleinformatyki i Akustyki Politechniki Wrocławskiej. Świadectwo ważne do 08.07.2021r. Miernik Narda NBM 520, Sonda EF 9091 pracuje w zakresie temperatury -10°C - +50°C oraz wilgotności 5% - 95%.

„Bez pisemnej zgody Laboratorium niniejsze sprawozdanie nie może być powielane inaczej, jak tylko w całości. Ponadto wyniki dotyczą tylko badanych obiektów przywołanych w niniejszym sprawozdaniu z badań”

Wyposażenie pomocnicze	<p>Niepewność rozszerzona wynosi 57,6% przy uwzględnieniu współczynnika rozszerzenia <math>k=2</math>.</p> <p>Termohigrometr TechnoLine, typ: WS-9410, nr identyfikacyjny H-112/17, świadectwo wzorcowania z dn. 31.05.2017r. wydane przez Laboratorium Pomiarowe "MUTECH".</p> <p>Przymiar wstępowy STABILA, nr seryjny 10721, świadectwo wzorcowania z dn. 19.05.2018, nr świadectwa 6W1/1487/18 wydane przez Zespół Laboratoriów wzorcujących Okręgowego Urzędu Miar w Gdańsku.</p> <p>GPS Garmin 64s okresowo sprawdzany w punktach osnowy geodezyjnej klasy 3 na podstawie licencji punktu, zgodnie z procedurą sprawdzeń okresowych IS/PO-16-11/03</p>
Pomiary zostały wykonane	<ol style="list-style-type: none"> <li>1. na głównych i pomocniczych kierunkach pomiarowych, na kierunkach zbliżonych do azymutów anten oraz w dodatkowych pionach pomiarowych zgodnie z wymaganiami pkt 12, 13, 14 i 19 załącznika do rozporządzenia Ministra Klimatu z dnia 17 lutego 2020 r. (Dz. U. 2020, poz. 258),</li> <li>2. na obszarze pomiarowym, dla którego, na podstawie uprzednio wykonanych obliczeń uzyskanych od zleceniodawcy, stwierdzono możliwość występowania pól elektromagnetycznych o poziomach zbliżonych do poziomów dopuszczalnych zgodnie z wymaganiami pkt 5 ppkt 2 oraz pkt 13 ppkt 1 załącznika do rozporządzenia Ministra Klimatu z dnia 17 lutego 2020 r. (Dz. U. 2020, poz. 258). Wyniki obliczeń nie uwzględniały parametrów pracy instalacji innych operatorów występujących na obiekcie bądź w obszarze pomiarowym.</li> <li>3. w miejscach dostępnych dla ludności.</li> <li>4. miejsca niedostępne podczas wykonywania pomiarów wskazane zostały w pkt 6 (tabeli wyniki pomiarów)</li> <li>5. wyniki pomiarów uzyskane zostały przy uwzględnieniu poprawek pomiarowych przekazanych przez zleceniodawcę oraz przy rzeczywistych warunkach pracy instalacji innych operatorów (w przypadku występowania). W takiej sytuacji uwzględniono jednolitą poprawkę pomiarową wynoszącą 2,00</li> </ol>
Szczególne warunki podczas wykonywania pomiarów	Pomiary wykonane zostały podczas obowiązywania w kraju stanu epidemii, zgodnie z art. 122a ust. 1b Ustawy z dnia 27 kwietnia 2001 r. – Prawo ochrony środowiska (Dz. U. z 2019 r. poz. 1396, z późn. zm.9))
Warunki pracy urządzeń nadawczych	Podczas pomiarów zostały uwzględnione poprawki pomiarowe przekazane przez zleceniodawcę, umożliwiające uwzględnienie maksymalnych parametrów pracy instalacji zgodnie z pkt 7 załącznika do Rozporządzeniem Ministra Klimatu z dnia 17 lutego 2020 r. w sprawie sposobów sprawdzania dotrzymania dopuszczalnych poziomów pól elektromagnetycznych w środowisku (Dz. U. 2020, poz. 258).

#### 4. Zróżnicowanie dopuszczalne poziomy pól elektromagnetycznych.

Zakresy znajdują się w Dzienniku Ustaw z dnia 17 grudnia 2019 r. przedstawione są w tabeli nr 2 (Dz. U. z 2019r. poz. 2448).

Parametr fizyczny Zakres Częstotliwości pola elektromagnetycznego	Składowa elektryczna E (V/m)	Składowa magnetyczna H (A/m)	Gęstość mocy S (W/m <sup>2</sup> )
od 400 MHz do 2000 MHz	$1,375 \times f^{0,5}$	$0,0037 \times f^{0,5}$	$f / 200$
od 2 GHz do 300 GHz	61	0,16	10

## 5. Charakterystyka źródeł PEM.

Zgodnie z informacją otrzymaną od Zlecniodawcy pomiary zostały wykonane przy ustawieniach pochylenia anten zgodnych z pkt. 13, ppkt 2 załącznika do rozporządzenia Ministra Klimatu z dnia 17 lutego 2020 roku.

### Anteny sektorowe

Charakterystyka promieniowania		kierunkowa				
Rzeczywisty czas pracy [h/dobę]		24				
Rodzaj wytwarzanego pola		stacjonarne				
Lp	Wyszczególnienie	sektor 1				
I	Nadajnik stacji bazowej:					
1	Typ / Producent	DBS / Huawei				
2	Częstotliwość (pasmo) MHz	2600	2100	1800	900	800
3	Maksymalna moc nadawana na sektor [dBm]	52,04	50,79	51,46	44,77	46,02
II	Obciążenie:					
1	Typ anteny	Huawei ASI4517R3				
2	Producent anteny	Huawei				
3	Ilość anten	1				
4	Azymut	60				
5	Zakres kątów pochylenia anten [°]	2,00-5,00	2,00-5,00	2,00-5,00	0,00-5,00	0,00-5,00
6	Wysokość zainst. n.p.t. [m]	30,20				
7	EIRP [W]	16709				

Charakterystyka promieniowania		kierunkowa				
Rzeczywisty czas pracy [h/dobę]		24				
Rodzaj wytwarzanego pola		stacjonarne				
Lp	Wyszczególnienie	sektor 2				
I	Nadajnik stacji bazowej:					
1	Typ / Producent	DBS / Huawei				
2	Częstotliwość (pasmo) MHz	2600	2100	1800	900	800
3	Maksymalna moc nadawana na sektor [dBm]	52,04	50,79	51,46	44,77	46,02
II	Obciążenie:					
1	Typ anteny	Huawei ASI4517R3				
2	Producent anteny	Huawei				
3	Ilość anten	1				
4	Azymut	180				
5	Zakres kątów pochylenia anten [°]	2,00-3,00	2,00-3,00	2,00-3,00	0,00-3,00	0,00-3,00
6	Wysokość zainst. n.p.t. [m]	30,20				
7	EIRP [W]	16709				

Charakterystyka promieniowania		kierunkowa				
Rzeczywisty czas pracy [h/dobę]		24				
Rodzaj wytwarzanego pola		stacjonarne				
Lp	Wyszczególnienie	sektor 3				
I	Nadajnik stacji bazowej:					
1	Typ / Producent	DBS / Huawei				
2	Częstotliwość (pasmo) MHz	2600	2100	1800	900	800
3	Maksymalna moc nadawana na sektor [dBm]	52,04	50,79	51,46	44,77	46,02
II	Obciążenie:					
1	Typ anteny	Huawei ASI4517R3				
2	Producent anteny	Huawei				
3	Ilość anten	1				
4	Azymut	309				
5	Zakres kątów pochylenia anten [°]	2,00-5,00	2,00-5,00	2,00-5,00	0,00-5,00	0,00-5,00
6	Wysokość zainst. n.p.t. [m]	30,20				
7	EIRP [W]	16709				

#### Anteny radioliniowe

Charakterystyka promieniowania		kierunkowa					
Rzeczywisty czas pracy [h/dobę]		24					
Rodzaj wytwarzanego pola		stacjonarne					
Lp	Linia radiowa			Antena			
	typ/producent	częstotliwość pracy [GHz]	moc wyjściowa [dBm]	typ/producent	średnica anteny [m]	azymut [°]	wysokość zainstal. [m]
1	OPTIX RTN/HUAWEI	80	18	VHLP1-80/Andrew	0,3	43	41,60
2	OPTIX RTN/HUAWEI	80	18	VHLP1-80/Andrew	0,3	178	41,60
3	OPTIX RTN/HUAWEI	80	18	VHLP1-80/Andrew	0,3	223	41,60

## 6. Wyniki pomiarów.

Wyniki pomiarów pól elektromagnetycznych dla celów ochrony środowiska przedstawia poniższa tabela. Piony pomiarowe zostały przedstawione w zał. 2.

Nr PP	Pole-E [V/m]	Pole-E*kE,+U [V/m]	Pole-H [A/m]	Pole-H*kE,+U [A/m]	Wys. pomiaru [m]	Opis pionu	Uwagi	WME	WMH
1	1,0	3,15	0,003	0,008	2,0	N: 53° 8' 41,87" E: 23° 9' 20,55"	otoczenie stacji nadawczej - ok. 50 m od obiektu wzdłuż gł. osi promieniowania - GKP	0,081	0,080
2	1,0	3,15	0,003	0,008	1,5	N: 53° 8' 42,59" E: 23° 9' 22,95"	otoczenie stacji nadawczej - ok. 100 m od obiektu wzdłuż gł. osi promieniowania - GKP	0,081	0,080
3	<0,8*	-	-	-	1,8	N: 53° 8' 43,32" E: 23° 9' 25,36"	otoczenie stacji nadawczej - ok. 150 m od obiektu wzdłuż gł. osi promieniowania - GKP	-	-
4	<0,8*	-	-	-	1,2	N: 53° 8' 44,05" E: 23° 9' 27,76"	otoczenie stacji nadawczej - ok. 200 m od obiektu wzdłuż gł. osi promieniowania - GKP	-	-
5	1,1	3,47	0,003	0,009	1,8	N: 53° 8' 44,77" E: 23° 9' 30,17"	otoczenie stacji nadawczej - ok. 250 m od obiektu wzdłuż gł. osi promieniowania - GKP	0,089	0,088
6	1,2	3,78	0,003	0,010	1,3	N: 53° 8' 45,5" E: 23° 9' 32,57"	otoczenie stacji nadawczej - ok. 300 m od obiektu wzdłuż gł. osi promieniowania - GKP	0,097	0,096
7	1,0	3,15	0,003	0,008	1,5	N: 53° 8' 45,88" E: 23° 9' 35,11"	otoczenie stacji nadawczej - ok. 350 m od obiektu wzdłuż gł. osi promieniowania - GKP	0,081	0,080
8	<0,8*	-	-	-	1,9	N: 53° 8' 39,21" E: 23° 9' 17,41"	otoczenie stacji nadawczej - ok. 50 m od obiektu wzdłuż gł. osi promieniowania - GKP	-	-

„Bez pisemnej zgody Laboratorium niniejsze sprawozdanie nie może być powielane inaczej, jak tylko w całości. Ponadto wyniki dotyczą tylko badanych obiektów przywołanych w niniejszym sprawozdaniu z badań”

9	1,0	3,15	0,003	0,008	1,2	N: 53° 8' 37,59" E: 23° 9' 17,43"	otoczenie stacji nadawczej - ok. 100 m od obiektu wzdłuż gł. osi promieniowania - GKP	0,081	0,080
10	1,0	3,15	0,003	0,008	1,3	N: 53° 8' 36,12" E: 23° 9' 16,54"	otoczenie stacji nadawczej - ok. 150 m od obiektu wzdłuż gł. osi promieniowania - GKP	0,081	0,080
11	1,1	3,47	0,003	0,009	1,8	N: 53° 8' 34,37" E: 23° 9' 16,94"	otoczenie stacji nadawczej - ok. 200 m od obiektu wzdłuż gł. osi promieniowania - GKP	0,089	0,088
12	1,3	4,10	0,003	0,011	1,5	N: 53° 8' 32,75" E: 23° 9' 16,79"	otoczenie stacji nadawczej - ok. 250 m od obiektu wzdłuż gł. osi promieniowania - GKP	0,105	0,104
13	<0,8*	-	-	-	1,2	N: 53° 8' 31,02" E: 23° 9' 17,19"	otoczenie stacji nadawczej - ok. 300 m od obiektu wzdłuż gł. osi promieniowania - GKP	-	-
14	0,8	2,52	0,002	0,007	1,6	N: 53° 8' 29,65" E: 23° 9' 15,79"	otoczenie stacji nadawczej - ok. 350 m od obiektu wzdłuż gł. osi promieniowania - GKP	0,065	0,064
15	1,0	3,15	0,003	0,008	1,7	N: 53° 8' 42,15" E: 23° 9' 15,29"	otoczenie stacji nadawczej - ok. 50 m od obiektu wzdłuż gł. osi promieniowania - GKP	0,081	0,080
16	1,2	3,78	0,003	0,010	1,7	N: 53° 8' 43,24" E: 23° 9' 13,3"	otoczenie stacji nadawczej - ok. 100 m od obiektu wzdłuż gł. osi promieniowania - GKP	0,097	0,096
17	1,0	3,15	0,003	0,008	1,9	N: 53° 8' 44,33" E: 23° 9' 11,31"	otoczenie stacji nadawczej - ok. 150 m od obiektu wzdłuż gł. osi promieniowania - GKP	0,081	0,080
18	<0,8*	-	-	-	1,4	N: 53° 8' 45,61" E: 23° 9' 9,91"	otoczenie stacji nadawczej - ok. 200 m od obiektu wzdłuż gł. osi promieniowania - GKP	-	-
19	<0,8*	-	-	-	1,7	N: 53° 8' 46,51" E: 23° 9' 7,33"	otoczenie stacji nadawczej - ok. 250 m od obiektu wzdłuż gł. osi promieniowania - GKP	-	-
20	0,9	2,84	0,002	0,008	2,0	N: 53° 8' 47,6" E: 23° 9' 5,34"	otoczenie stacji nadawczej - ok. 300 m od obiektu wzdłuż gł. osi promieniowania - GKP	0,073	0,072
21	1,2	3,78	0,003	0,010	1,7	N: 53° 8' 48,69" E: 23° 9' 3,35"	otoczenie stacji nadawczej - ok. 350 m od obiektu wzdłuż gł. osi promieniowania - GKP	0,097	0,096
22	0,8	2,52	0,002	0,007	1,5	N: 53° 8' 42,33" E: 23° 9' 20,03"	otoczenie stacji nadawczej - ok. 50 m od obiektu wzdłuż gł. osi promieniowania - GKP	0,065	0,064
23	0,8	2,52	0,002	0,007	1,7	N: 53° 8' 43,37" E: 23° 9' 22,04"	otoczenie stacji nadawczej - ok. 100 m od obiektu wzdłuż gł. osi promieniowania - GKP	0,065	0,064
24	0,9	2,84	0,002	0,008	1,5	N: 53° 8' 44,49" E: 23° 9' 23,98"	otoczenie stacji nadawczej - ok. 150 m od obiektu wzdłuż gł. osi promieniowania - GKP	0,073	0,072
25	0,8	2,52	0,002	0,007	1,3	N: 53° 8' 39,71" E: 23° 9' 15,63"	otoczenie stacji nadawczej - ok. 50 m od obiektu wzdłuż gł. osi promieniowania - GKP	0,065	0,064
26	0,8	2,52	0,002	0,007	1,5	N: 53° 8' 38,59" E: 23° 9' 13,68"	otoczenie stacji nadawczej - ok. 100 m od obiektu wzdłuż gł. osi promieniowania - GKP	0,065	0,064
27	0,9	2,84	0,002	0,008	1,4	N: 53° 8' 37,48" E: 23° 9' 11,74"	otoczenie stacji nadawczej - ok. 150 m od obiektu wzdłuż gł. osi promieniowania - GKP	0,073	0,072
28	0,8	2,52	0,002	0,007	1,6	N: 53° 8' 44,97" E: 23° 9' 12,51"	otoczenie stacji nadawczej - PKP	0,065	0,064
29	0,9	2,84	0,002	0,008	1,9	N: 53° 8' 43,72" E: 23° 9' 14,45"	otoczenie stacji nadawczej - PKP	0,073	0,072
30	0,8	2,52	0,002	0,007	1,6	N: 53° 8' 42,71" E: 23° 9' 16,61"	otoczenie stacji nadawczej - PKP	0,065	0,064
31	0,9	2,84	0,002	0,008	1,5	N: 53° 8' 42,41" E: 23° 9' 25,84"	otoczenie stacji nadawczej - PKP	0,073	0,072
32	0,8	2,52	0,002	0,007	1,3	N: 53° 8' 41,69" E: 23° 9' 23,54"	otoczenie stacji nadawczej - PKP	0,065	0,064
33	0,9	2,84	0,002	0,008	1,5	N: 53° 8' 39,8" E: 23° 9' 19,77"	otoczenie stacji nadawczej - PKP	0,073	0,072
34	0,8	2,52	0,002	0,007	1,9	N: 53° 8' 37,66" E: 23° 9' 18,74"	otoczenie stacji nadawczej - PKP	0,065	0,064
35	0,9	2,84	0,002	0,008	1,7	N: 53° 8' 36,1" E: 23° 9' 18,76"	otoczenie stacji nadawczej - PKP	0,073	0,072
36	0,8	2,52	0,002	0,007	1,9	N: 53° 8' 36,23" E: 23° 9' 14,94"	otoczenie stacji nadawczej - PKP	0,065	0,064
37	0,9	2,84	0,002	0,008	1,7	N: 53° 8' 37,84" E: 23° 9' 15,48"	otoczenie stacji nadawczej - PKP	0,073	0,072
38	0,8	2,52	0,002	0,007	1,4	N: 53° 8' 42,6" E: 23° 9' 12,28"	otoczenie stacji nadawczej - PKP	0,065	0,064
39	0,9	2,84	0,002	0,008	1,9	N: 53° 8' 43,51" E: 23° 9' 10,48"	otoczenie stacji nadawczej - PKP	0,073	0,072
A	<0,8*	-	-	-	1,4	-	Kościół, pomiar przed wejściem - DPP	-	-
B	1,0	3,15	0,003	0,008	1,9	-	Białostoczek 10/1, pomiar przed wejściem - DPP	0,081	0,080

C	0,8	2,52	0,002	0,007	1,9	-	Białostoczek 10/6, pomiar przed wejściem - DPP	0,065	0,064
D	<0,8*	-	-	-	1,6	-	Białostoczek 8/5, pomiar przed wejściem - DPP	-	-
E	1,0	3,15	0,003	0,008	1,6	-	Białostoczek 12, pomiar przed wejściem - DPP	0,081	0,080
F	0,9	2,84	0,002	0,008	1,4	-	Białostoczek 14, pomiar przed wejściem - DPP	0,073	0,072
G	1,0	3,15	0,003	0,008	1,8	-	Białostoczek 16, pomiar przed wejściem - DPP	0,081	0,080
H	<0,8*	-	-	-	1,5	-	Białostoczek 18, pomiar przed wejściem - DPP	-	-
I	1,0	3,15	0,003	0,008	1,6	-	Białostoczek 22, pomiar przed wejściem - DPP	0,081	0,080
J	1,2	3,78	0,003	0,010	1,4	-	ul. Zagumienna 10, pomiar przed wejściem - DPP	0,097	0,096
K	1,0	3,15	0,003	0,008	1,6	-	budynek usługowy, pomiar przed wejściem - DPP	0,081	0,080
L	1,2	3,78	0,003	0,010	1,2	-	ul. Kozłowa 28, pomiar przed wejściem - DPP	0,097	0,096
M	1,0	3,15	0,003	0,008	1,2	-	Nauka Jazdy, ul. Bitwy Białostockiej 30A, pomiar przed wejściem - DPP	0,081	0,080

\* poniżej czułości zestawu pomiarowego

GKP – główne kierunki pomiarowe

PKP – pomocnicze kierunki pomiarowe

DPP – dodatkowe punkty pomiarowe

PP – pion pomiarowy

U – niepewność pomiarowa dla współczynnika rozszerzenia  $k=2$

$k_E$  – poprawka pomiarowa badanej instalacji radiokomunikacyjnej podana przez operatora ( $k_E=1,40$ ),

poprawka pomiarowa w przypadku oddziaływania innych instalacji radiokomunikacyjnych na badany obszar ( $k_E=2,0$ )

WME – wartość wskaźnikowa poziomu emisji pól elektromagnetycznych dla miejsc dostępnych dla ludności dla składowej elektrycznej pola

WMH – wartość wskaźnikowa poziomu emisji pól elektromagnetycznych dla miejsc dostępnych dla ludności dla składowej magnetycznej pola

Przyjęto najniższą dopuszczalną wartość składowej elektrycznej pola dla objętego pomiarami zakresu częstotliwości  $\min(ME_{gr}) = 38,89$  V/m oraz składowej magnetycznej  $\min(MH_{gr}) = 0,105$  A/m.

## 7. Stwierdzenie zgodności

Na podstawie wytycznych podanych w Rozporządzeniu Ministra Zdrowia z dnia 17 grudnia 2019 r. w sprawie dopuszczalnych poziomów pól elektromagnetycznych w środowisku (Dz.U. 2019 poz. 2448) oraz sposobów sprawdzania dotrzymania tych poziomów zgodnie z Rozporządzeniem Ministra Klimatu z dnia 17 lutego 2020 r. w sprawie sposobów sprawdzania dotrzymania dopuszczalnych poziomów pól elektromagnetycznych w środowisku (Dz.U. 2020 poz. 258) dotyczących źródła wymagań, które muszą być spełnione (załącznik do rozporządzenia Ministra Klimatu z dnia 17 lutego 2020 r. (poz. 258)), w oparciu o zasadę podejmowania decyzji zgodną z pkt 26 załącznika do rozporządzenia Ministra Klimatu z dnia 17 lutego 2020 r. (poz. 258), na podstawie wyników pomiarów pól elektromagnetycznych wykonanych w dniu 04.09.2020r. stwierdzono, iż w miejscach dostępnych dla ludności, dopuszczalne poziomy pól elektromagnetycznych w środowisku, określone w przepisach wydanych na podstawie art. 122 ust. 1 ustawy z dnia 27 kwietnia 2001 r. – Prawo ochrony środowiska, uznaje się za dotrzymane w obszarze pomiarowym, w którym w wyniku zastosowania sposobu sprawdzenia dotrzymania dopuszczalnych poziomów pól elektromagnetycznych w środowisku, udokumentowano, że żadna z wartości wskaźnikowych nie przekracza wartości 1.

## 8. Oświadczenie.

Wyniki badania odnoszą się wyłącznie do badanego obiektu.

Bez pisemnej zgody sprawozdanie nie może być powielane inaczej, jak tylko w całości.

Uwagi i zastrzeżenia przyjmowane są w formie pisemnej w ciągu 14 dni od daty otrzymania sprawozdania.

## 9. Spis załączników.

Załącz. 1. Lokalizacja obiektu.

„Bez pisemnej zgody Laboratorium niniejsze sprawozdanie nie może być powielane inaczej, jak tylko w całości. Ponadto wyniki dotyczą tylko badanych obiektów przywołanych w niniejszym sprawozdaniu z badań”

12/09/OŚ/2020 - P4 - W

Strona 8 z 12

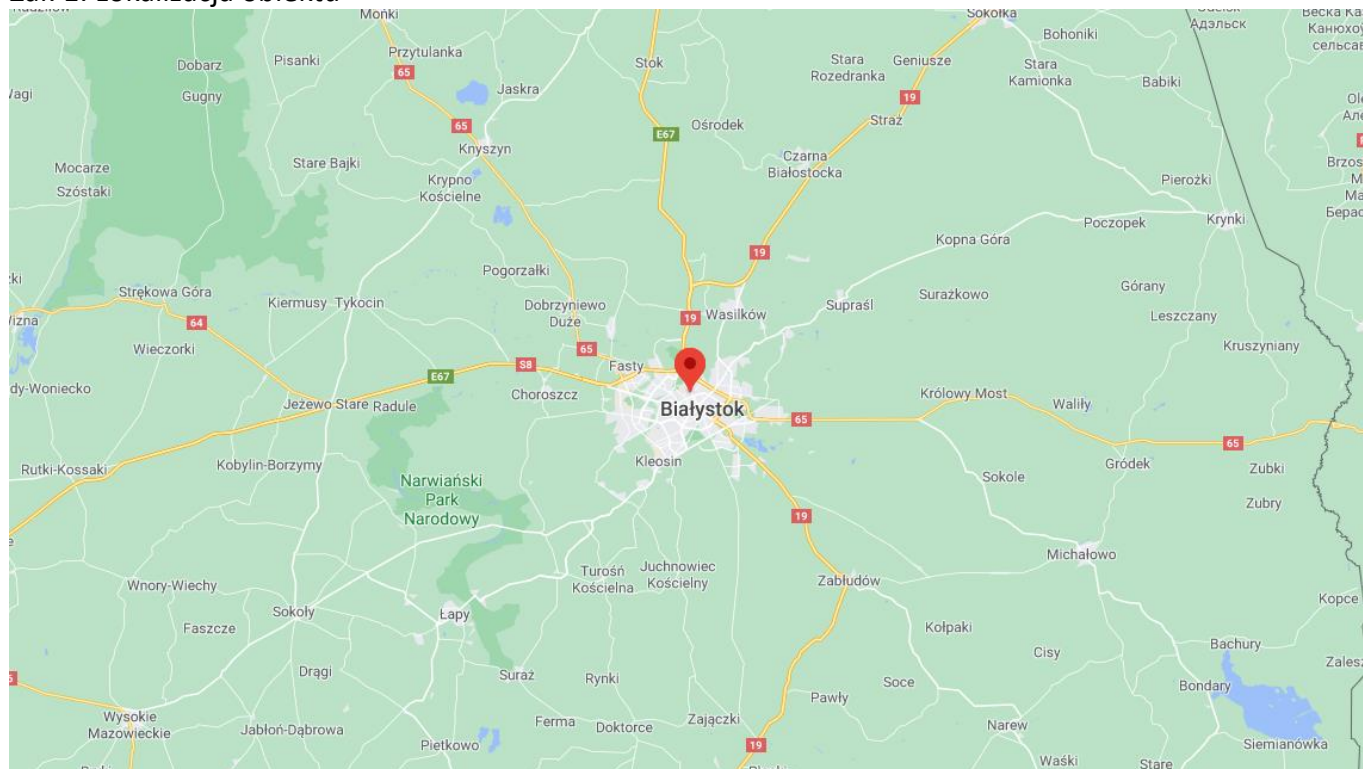


Załącznik 2. Widok pionów pomiarowych

Załącznik 3. Załączniki graficzne.

**Koniec sprawozdania**

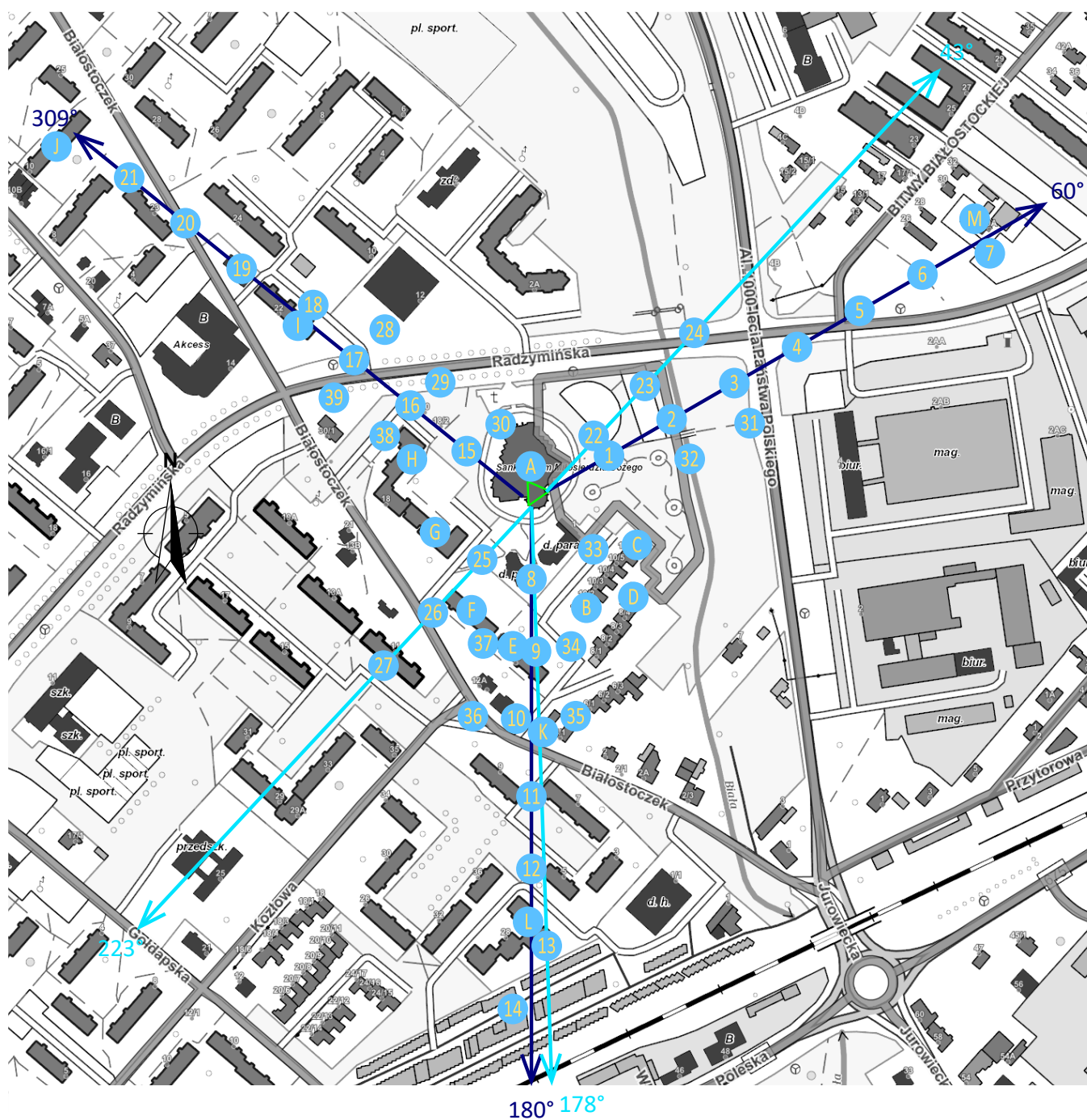
## Zał. 1. Lokalizacja obiektu









województwo: podlaskie

Współrzędne geograficzne	
długość:	E: 23° 9' 17,27"
szerokość:	N: 53° 8' 41,06"

Załącznik 2. Widok pionów pomiarowych



LEGENDA:

- |   |                                    |   |  |
|---|------------------------------------|---|--|
|  | inna instalacja radiokomunikacyjna |  | punkt pomiarowy z poprawką pomiarową podaną przez operatora                                      |
|   | brak dostępu                       |  | punkt pomiarowy będący w zasięgu innych instalacji radiokomunikacyjnych z poprawką pomiarową 2,0 |
|   |                                    |  | antena sektorowa   |
|   |                                    |  | antena radioliniowa  |

Odległość, do której zostały wykonane pomiary mierząc od instalacji antenowej wynosi min. 302 m.

Skala: 1:4200

